

物理引擎求解器中的部分数学理论及公式推导

目录

1. 概述.....	1
2. 求解器.....	1
2.1. LCP/MLCP 求解.....	1
2.1.1. Gauss-Seidel (GS 迭代求解法).....	1
2.1.2. Projected Gauss-Seidel (PGS 迭代求解法).....	2
2.1.3. Lemke (互补枢轴算法).....	2
2.1.4. Dantzig-Wolfe 算法.....	4
3. 物理约束式子的由来.....	5
3.1. 基本物理系数符号.....	5
3.2. 根据动量守恒定律推导约束方程式.....	6
3.2.1. 接触约束方程式.....	6
3.2.2. 摩擦力约束方程式.....	10
3.2.3. 非接触约束方程式.....	11
参考文献.....	13
附录一：单纯形法样例.....	13

1. 概述

- ① 梳理物理引擎中求解器的几个 (M)LCP 求解算法
- ② 根据基本的物理知识，从数学角度推导输入到求解器中的方程式

2. 求解器

问题描述：求解方程组 $Ax = b$ ，其中 A 为 n 阶方阵， x 和 b 均为 n 维列向量

2.1. LCP/MLCP 求解

2.1.1. Gauss-Seidel (GS 迭代求解法)

矩阵

$$A = \begin{bmatrix} a_{11} & \cdots & a_{1n} \\ \vdots & \ddots & \vdots \\ a_{n1} & \cdots & a_{nn} \end{bmatrix} = \begin{bmatrix} a_{11} & \cdots & 0 \\ \vdots & \ddots & \vdots \\ 0 & \cdots & a_{nn} \end{bmatrix} - \begin{bmatrix} 0 & \cdots & 0 \\ \vdots & \ddots & \vdots \\ -a_{n1} & \cdots & 0 \end{bmatrix} - \begin{bmatrix} 0 & \cdots & -a_{1n} \\ \vdots & \ddots & \vdots \\ 0 & \cdots & 0 \end{bmatrix}$$

可以被分割为 $A = D - L - U$, 其中 D 是对角矩阵, L 是左下部分矩阵, U 是右上部分矩阵, 得: $(L + U + D)x = b$

即 $Dx = b - (L + U)x$

根据该式设计

$$x_{k+1} = [b - (L + U)x_k] / D$$

Algorithm 3 Approximately solve $Ax = b$ given x^0

```

 $x = x^0$ 
for  $iter = 1$  to iteration limit do
  for  $i = 1$  to  $n$  do
     $\Delta x_i = [b_i - \sum_{j=1}^n A_{ij}x_j] / A_{ii}$ 
     $x_i = x_i + \Delta x_i$ 
  end for
end for

```

2.1.2. Projected Gauss-Seidel (PGS 迭代求解法)

PGS 方法和 GS 方法的区别仅仅在于, PGS 在每次迭代后会将 结果 截断到一个给定范围内, 即所求 x 有上下界。

当矩阵 A 是正定矩阵的时候, PGS 可得严格被证明为收敛 (证明可参考任意数值分析 (又名数值计算) 书籍)

2.1.3. Lemke (互补枢轴算法)

$$\begin{aligned} Ax - b &= 0 \\ x^T(Ax - b) &\geq 0 \\ x^T Ax &\geq x^T b \end{aligned}$$

(可参考大学教材《运筹学》第一章单纯形法相关内容)

基本概念:

基向量: 一个矩阵中的一组 (若干) 行 (列) 向量, 组内任一向量都不能被这组基向量的其它向量线性表示, 而其它非基行 (列) 向量都可以用这组基向量线性表示。

Lemke 算法目标:

$$\begin{aligned} \min f(x) &= \frac{1}{2}x^T Hx + c^T x \\ \text{s.t. } Ax &\leq b \\ x &\geq 0 \end{aligned}$$

上式可改写为: (证明可参考其它资料对 Lemke 算法的描述, 此处略)

$$(LCP) \begin{cases} w - Mz = q \\ w, z \geq 0 \\ w^T z = 0 \end{cases} \quad \text{引入人工变量 } z_0, \text{ 有} \quad \begin{cases} w - Mz - Iz_0 = q \\ w, z \geq 0, z_0 \geq 0 \\ w^T z = 0 \end{cases}$$

查找主元，然后使用 Gauss-Jordan 消元法。

由原始单纯形法改进而来，主元消去法，由一个准互补基本可行解出发，通过主元消去法（转轴方法）求出一个新的准互补基本可行解，不断迭代。可能求解失败。

- 按照最小比值规则确定离基变量
- 保持准互补性，若 $w_i(z_i)$ 是离基变量，则 $z_i(w_i)$ 是进基变量

具体步骤：

- (1) 若 $q \geq 0$ ，则 $(w, z) = (q, 0)$ 为解，否则，取 $\max\{-q_i\}$ 所在的行 s 行为主行， z_0 对应的列为主列，主元消去，令 $y_s = z_s$
- (2) 设现行表中变量 y_s 下面的列为 d_s ，若 $d_s \leq 0$ ，退出；否则按最小比值规则确定指标 r ，使 $q_i/d_{rs} = \min\{q_i/d_{rs} \mid d_{rs} > 0\}$ ，如果 r 行的基变量是 z_0 ，转 4；否则转 3
- (3) 设 r 行的基变量为 w_l 或 $z_l (l \neq s)$ ， y_s 进基，以 r 行为主行， y_s 对应的列为主列，主元消去。如果离基变量是 w_l ，则令 $y_s = z_l$ ；如果离基变量是 z_l ，则令 $y_s = w_l$ ，转 2
- (4) y_s 进基， z_0 离基。以 r 行为主行， y_s 对应的列为主列，主元消去。得可行解，退出

具体样例：

$$\begin{aligned} \min f(x) &= 2x_1^2 - 2x_1x_2 + 10x_2^2 - x_1 - 10x_2 \\ \text{s.t.} \quad &-3x_1 - 2x_2 \geq -6 \\ &x_1, x_2 \geq 0 \end{aligned}$$

$$M = \begin{bmatrix} H & -A^T \\ A & 0 \end{bmatrix} = \begin{pmatrix} 2 & -1 & 3 \\ -1 & 10 & 2 \\ -3 & -2 & 0 \end{pmatrix}, \quad q = \begin{bmatrix} c \\ -b \end{bmatrix} = \begin{pmatrix} -1 \\ -10 \\ 6 \end{pmatrix}$$

$$\begin{pmatrix} w_1 \\ w_2 \\ w_3 \end{pmatrix} = \begin{pmatrix} 2 & -1 & 3 \\ -1 & 10 & 2 \\ -3 & -2 & 0 \end{pmatrix} \begin{pmatrix} z_1 \\ z_2 \\ z_3 \end{pmatrix} + \begin{pmatrix} -1 \\ -10 \\ 6 \end{pmatrix}$$

$$w^T z = 0, \quad w \geq 0, \quad z \geq 0, \quad w, z \in R^3$$

Tab.3-2 The initial table of classical Lemke algorithm								
基向量	w_1	w_2	w_3	z_1	z_2	z_3	z_0	q
w_1	1	0	0	-2	1	-3	-1	-1
w_2	0	1	0	1	-10	-2	-1	-10
w_3	0	0	1	3	2	0	-1	6

表 3.3 经典的 Lemke 算法的迭代表 1

Tab.3-3 The first iterated table of classical Lemke algorithm								
基向量	w_1	w_2	w_3	z_1	z_2^*	z_3	z_0	q
w_1	1	-1	0	-3	11*	-1	0	9
w_2	0	-1	0	-1	10	2	1	10
w_3	0	-1	1	2	12	2	0	16

表 3.4 经典的 Lemke 算法的迭代表 2

Tab.3-4 The second iterated table of classical Lemke algorithm								
基向量	w_1	w_2	w_3	z_1	z_2	z_3	z_0	q
z_2	1/11	-1/11	0	-3/11	1	-1/11	0	9/11
z_0	-10/11	-1/11	0	19/11*	0	32/11	1	20/11
w_3	-12/11	1/11	1	58/11	0	34/11	0	68/11

表 3.5 经典的 Lemke 算法的迭代表 3

Tab.3-5 The third iterated table of classical Lemke algorithm								
基向量	w_1	w_2	w_3	z_1	z_2	z_3	z_0	q
z_2	-1/19	-2/19	0	0	1	7/19	3/19	21/19
z_1	-10/19	-1/19	0	1	0	32/19	11/19	20/19
w_3	32/19	7/19	1	0	0	-110/19	-58/19	12/19

2.1.4. Dantzig-Wolfe 算法

只知道同样基于换基消元法，暂未找到文献描述具体选基与换基原理。

3. 物理约束式子的由来

3.1. 基本物理系数符号

物理系数	符号表示	类型	相关公式
质量 (mass)	m_i	标量	
惯性张量(转动惯量)	I_i	二阶矩阵	
力 (force)	\vec{F}_i	矢量	$\vec{F}_i = m_i \vec{a}_i$
力矩 (torque)	$\vec{\tau}_i$	矢量	$\vec{\tau}_i = \vec{r} \times \vec{F}_i$, 其中 \vec{r} 为质心到指定点的矢量
线速度 (velocity)	\vec{v}_i	矢量	$d\vec{v}_i = \vec{a}_i dt$
角速度	$\vec{\omega}_i$	矢量	$d\vec{\omega}_i = \vec{\alpha}_i dt$
线加速度 (acceleration)	\vec{a}_i	矢量	
角加速度	$\vec{\alpha}_i$	矢量	
动 量 (momentum)	\vec{p}	矢量	$m_i \vec{v}_i$
角动量	\vec{L}	矢量	$I_i \vec{\omega}_i$
冲 量 (impulse)	I		$\int \vec{F}_i dt = \vec{P} = m_i \vec{v}_i$
角冲量			$\int \vec{\tau}_i dt = \vec{L} = I_i \vec{\omega}_i$
动能	E	标量	$1/2 m_i \vec{v}_i^2$
转动动能	E	标量	$1/2 I_i \vec{\omega}_i^2$
质心位置 (position)	\vec{r}_i	矢量	$d\vec{r}_i = \vec{v}_i dt$
位置朝向 (orientation)	\vec{q}_i	四元数	$\vec{q}_i = [s_i, x_i, y_i, z_i]$ $d\vec{q}_i = 1/2 [0, \vec{\omega}_i] \vec{q}_i dt$
广义位置	\vec{s}_i	矩阵	$\vec{s}_i = [\vec{r}_i, \vec{q}_i]$
广义速度 (status)	\vec{u}_i	矩阵	$\vec{u}_i = [\vec{v}_i, \vec{\omega}_i]^T$
广义合外力	\vec{f}_{ext}	矩阵	\vec{f}_{ext} $= [\vec{F}_i, \vec{\tau}_i - \vec{\omega}_i \times (I_i \vec{\omega}_i)]$
法线 (normal)	\vec{n}_i	矢量	
摩擦系数	μ_i	标量	

3.2. 根据动量守恒定律推导约束方程式

3.2.1. 接触约束方程式

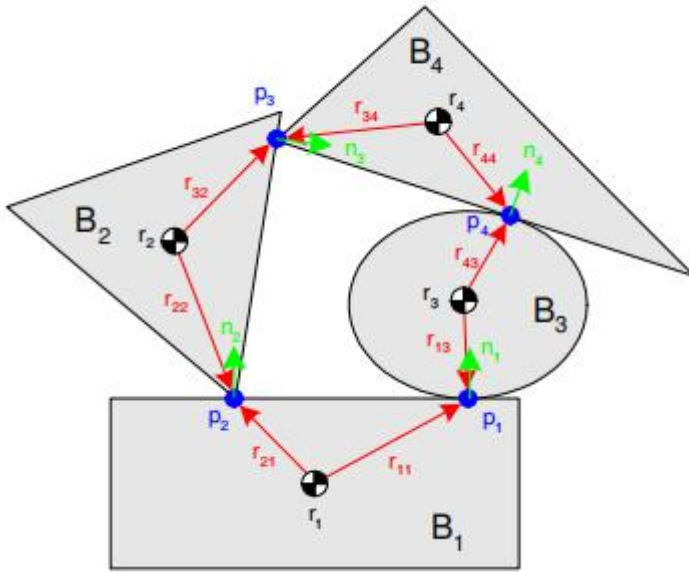
目标：把约束方程式写成 $Ax + b = 0$ 的样式，以使用上述求解 LCP 问题的算法。

（参考《Physics-Based Animation》）

一个封闭的系统一定遵循动量守恒/能量守恒定律。

使用动量守恒比使用能量守恒更容易列方程式求解。物理系统的能量中，动能容易和其它势能、热能等相互转化，如两个非光滑刚体进行碰撞，由于摩擦力的存在，会使得一部分动能转化为热能，相比之下，动量的表达式比能量的表达式相对简单，更适合用来做物理引擎求解。

则问题转化成：已知一个物理系统中 n 个物体的固有属性（如质量、摩擦系数等），及初始广义位置、广义速度 \vec{u}_i ，求经过 Δt 时刻后的广义速度。



整个场景中，对于第 k 个接触点 \vec{p}_k ，两边接触的物体记为 i_k 和 j_k ，记 $\vec{f}_k = f_k \vec{n}_k$ 为

第 k 个接触点的接触力， \vec{f}_i^{ext} 为物体 i 所受的其它外力，如重力等； $\vec{r}_{ki} = \vec{p}_k - \vec{r}_i$

为质心到接触点的矢量， $\vec{\tau}_i^{\text{ext}}$ 为物体 i 所受的其它外力矩。

则对第 i 个物体有

$$\begin{aligned}
\dot{\vec{r}}_i &= \vec{v}_i \\
\dot{q}_i &= \frac{1}{2}\vec{\omega}_i q_i \\
\dot{v}_i &= m_i^{-1} \sum_{j_k=i} \vec{f}_k - m_i^{-1} \sum_{i_k=i} \vec{f}_k + m_i^{-1} \vec{f}_i^{\text{ext}} \\
\dot{\vec{\omega}}_i &= I_i^{-1} \sum_{j_k=i} \vec{r}_{kj} \times \vec{f}_k - I_i^{-1} \sum_{i_k=i} \vec{r}_{ki} \times \vec{f}_k \\
&\quad - I_i^{-1} \vec{\omega}_i \times I_i \vec{\omega}_i + I_i^{-1} \vec{\tau}_i^{\text{ext}}
\end{aligned}$$

其中前两个式子是根据位置对时间的导数即为速度列的，后两个式子是根据牛顿第二定律列的。

第二个式子推导过程：

四元数乘法： $q_1 = [a_1, \vec{v}_1]$ ， $q_2 = [a_2, \vec{v}_2]$ ，则

$$q_1 \boxtimes q_2 = [a_1 a_2 - \vec{v}_1 \cdot \vec{v}_2, a_1 \vec{v}_2 + a_2 \vec{v}_1 + \vec{v}_1 \times \vec{v}_2]$$

旋转角度 θ ，旋转轴 \vec{n} ，以不带矢量箭头的 ω 表示角速度的模长，则任一四元数

$$\text{都可以写成：} q = [\cos\left(\frac{\theta}{2}\right), \vec{n} \sin\left(\frac{\theta}{2}\right)] = [\cos\left(\frac{\omega t}{2}\right), \frac{\vec{\omega}}{\omega} \sin\left(\frac{\omega t}{2}\right)]$$

瞬时旋转中，角速度可以看成不随时间变化，则上式对时间求导，得

$$\begin{aligned}
\dot{q} &= \left[-\frac{\omega}{2} \sin\left(\frac{\omega t}{2}\right), \frac{\vec{\omega}}{\omega} \frac{\omega}{2} \cos\left(\frac{\omega t}{2}\right) \right] = \frac{1}{2} \left[-\omega \sin\left(\frac{\omega t}{2}\right), \vec{\omega} \cos\left(\frac{\omega t}{2}\right) \right] \\
&= \frac{1}{2} [0, \vec{\omega}] \boxtimes q
\end{aligned}$$

后两个式子的原型为：

$$\begin{aligned}
\vec{F}_i &= m_i \vec{a}_i = \sum_{j_k=i} \vec{f}_k - \sum_{i_k=i} \vec{f}_k + \vec{f}_i^{\text{ext}} \\
\vec{\tau}_i &= I_i \vec{\alpha}_i = \sum_{j_k=i} \vec{r}_{kj} \times \vec{f}_k - \sum_{i_k=i} \vec{r}_{ki} \times \vec{f}_k - \vec{\omega}_i \times I_i \vec{\omega}_i + \vec{\tau}_i^{\text{ext}}
\end{aligned}$$

记无法直接获得的接触力 $\vec{f} = [\vec{f}_1, \vec{f}_2, \dots, \vec{f}_n]$ ，则上述两个式子可以表示成：

$$\begin{bmatrix} \dot{\vec{r}}_1 \\ \dot{\vec{q}}_1 \\ \vdots \\ \dot{\vec{r}}_n \\ \dot{\vec{q}}_n \end{bmatrix} = \begin{bmatrix} 1 & & & & \\ & \frac{1}{2} \begin{bmatrix} -x_1 & -y_1 & -z_1 \\ s_1 & z_1 & -y_1 \\ -z_1 & s_1 & x_1 \\ y_1 & -x_1 & s_1 \end{bmatrix} & & & \\ & & \ddots & & \\ & & & 1 & \\ & & & & \ddots \\ & & & & & \frac{1}{2} \begin{bmatrix} -x_n & -y_n & -z_n \\ s_n & z_n & -y_n \\ -z_n & s_n & x_n \\ y_n & -x_n & s_n \end{bmatrix} \end{bmatrix} \begin{bmatrix} \vec{v}_1 \\ \vec{\omega}_1 \\ \vdots \\ \vec{v}_n \\ \vec{\omega}_n \end{bmatrix}$$

$$\begin{bmatrix} \dot{\vec{v}}_1 \\ \dot{\vec{\omega}}_1 \\ \vdots \\ \dot{\vec{v}}_n \\ \dot{\vec{\omega}}_n \end{bmatrix} = \begin{bmatrix} m_1 & & & & \\ & I_1 & & & \\ & & \ddots & & \\ & & & m_n & \\ & & & & I_n \end{bmatrix}^{-1} \left([C] \begin{bmatrix} \vec{n}_1 \\ \vec{n}_2 \\ \vdots \\ \vec{n}_{n-1} \\ \vec{n}_n \end{bmatrix} \begin{bmatrix} \vec{f}_1 \\ \vec{f}_2 \\ \vdots \\ \vec{f}_{n-1} \\ \vec{f}_n \end{bmatrix} + \vec{f}_{ext} \right)$$

简记为

$$\begin{aligned} \dot{\vec{s}} &= \mathbf{S} \vec{u} \\ \dot{\vec{u}} &= \mathbf{M}^{-1} \left(\mathbf{C} \mathbf{N} \vec{f} + \vec{f}_{ext} \right). \end{aligned}$$

其中位置朝向 $\vec{q}_i = [s_i, x_i, y_i, z_i]$, $\vec{f}_{ext} = \left[\vec{f}_1^{ext}, \vec{\tau}_1 - \vec{\omega}_1 \times (I_1 \vec{\omega}_1), \dots, \vec{f}_n^{ext}, \vec{\tau}_n - \vec{\omega}_n \times (I_n \vec{\omega}_n) \right]$

$$\mathbf{Q}_i = \frac{1}{2} \begin{bmatrix} -x_i & -y_i & -z_i \\ s_i & z_i & -y_i \\ -z_i & s_i & x_i \\ y_i & -x_i & s_i \end{bmatrix}.$$

满足 $\frac{1}{2} \vec{\omega}_i \vec{q}_i = \mathbf{Q}_i \vec{\omega}_i$

$$\mathbf{S} = \begin{bmatrix} 1 & & & & 0 \\ & \mathbf{Q}_1 & & & \\ & & \ddots & & \\ & & & 1 & \\ 0 & & & & \mathbf{Q}_n \end{bmatrix},$$

广义质量矩阵

$$\mathbf{M} = \begin{bmatrix} m_1 \mathbf{1} & & & \mathbf{0} \\ & \mathbf{I}_1 & & \\ & & \ddots & \\ & & & m_n \mathbf{1} \\ \mathbf{0} & & & & \mathbf{I}_n \end{bmatrix}$$

接触点法线矩阵

$$\mathbf{N} = \begin{bmatrix} \vec{n}_1 & & & \mathbf{0} \\ & \vec{n}_2 & & \\ & & \ddots & \\ \mathbf{0} & & & \vec{n}_k \end{bmatrix},$$

$$C_{lk} = \begin{cases} -1 & \text{for } l = 2i_k - 1 \\ -\mathbf{r}_{ki_k}^\times & \text{for } l = 2i_k \\ 1 & \text{for } l = 2j_k - 1 \\ \mathbf{r}_{kj_k}^\times & \text{for } l = 2j_k \\ 0 & \text{otherwise} \end{cases}$$

$$\mathbf{r}^\times = \begin{bmatrix} 0 & -r_3 & r_2 \\ r_3 & 0 & -r_1 \\ -r_2 & r_1 & 0 \end{bmatrix}$$

采用欧拉积分的方式，在 $t + \Delta t$ 时刻，有

$$\begin{aligned} \vec{s}^{t+\Delta t} &= \vec{s}^t + \Delta t \mathbf{S} \vec{u}^{t+\Delta t}, \\ \vec{u}^{t+\Delta t} &= \vec{u}^t + \Delta t \mathbf{M}^{-1} \left(\mathbf{C} \mathbf{N} \vec{f}^{t+\Delta t} + \vec{f}_{ext} \right). \end{aligned}$$

转化成 LCP 形式

接触点 \vec{p}_k ，两边接触的物体 i_k 和 j_k ， $\vec{r}_{ki} = \vec{p}_k - \vec{r}_i$ 为质心到接触点的矢量，则物

体在接触点的速度为： $\vec{v}_{i_k} + \vec{\omega}_{i_k} \times \vec{r}_{ki_k}$ 和 $\vec{v}_{j_k} + \vec{\omega}_{j_k} \times \vec{r}_{kj_k}$ 。

则两个物体在接触点处法线方向上的相对速度（记为接触速率）为

$$\vec{n}_k (\vec{v}_{i_k} + \vec{\omega}_{i_k} \times \vec{r}_{ki_k} - \vec{v}_{j_k} + \vec{\omega}_{j_k} \times \vec{r}_{kj_k})$$

为 $\mathbf{N}^T \mathbf{C}^T \vec{u}$ 的第 k 个分量，当该值大于 0 时，表示两个物体有相互分离的趋势。

当两个物体在时刻 t 接触，那么在 $t + \Delta t$ 时刻，要么接触完成，接触力为 0，接触点速率大于 0；要么正在接触，接触力大于等于 0，接触点速率为 0。

即有

$$\begin{aligned} \mathbf{N}^T \mathbf{C}^T \vec{u}^{t+\Delta t} &\geq \vec{0}, \\ \vec{f}^{t+\Delta t} &\geq \vec{0}, \\ (\mathbf{N}^T \mathbf{C}^T \vec{u}^{t+\Delta t})^T \vec{f}^{t+\Delta t} &= 0. \end{aligned}$$

即

$$\begin{aligned} \mathbf{N}^T \mathbf{C}^T \mathbf{M}^{-1} \mathbf{C} \mathbf{N} \Delta t \vec{f}^{t+\Delta t} + \mathbf{N}^T \mathbf{C}^T (\vec{u}^t + \Delta t \mathbf{M}^{-1} \vec{f}_{ext}) &\geq \vec{0}, \\ \Delta t \vec{f}^{t+\Delta t} &\geq \vec{0}, \\ \Delta t \vec{f}^{t+\Delta t} \cdot (\mathbf{N}^T \mathbf{C}^T \mathbf{M}^{-1} \mathbf{C} \mathbf{N} \Delta t \vec{f}^{t+\Delta t} + \mathbf{N}^T \mathbf{C}^T (\vec{u}^t + \Delta t \mathbf{M}^{-1} \vec{f}_{ext})) &= 0 \end{aligned}$$

$$\mathbf{A} = \mathbf{N}^T \mathbf{C}^T \mathbf{M}^{-1} \mathbf{C} \mathbf{N} \quad , \quad \vec{x} = \Delta t \vec{f}^{t+\Delta t} \quad , \quad \vec{b} = \mathbf{N}^T \mathbf{C}^T (\vec{u}^t + \Delta t \mathbf{M}^{-1} \vec{f}_{ext})$$

而书上多了 $\frac{\vec{v}}{\Delta t}$

$$\mathbf{N}^T \mathbf{C}^T \vec{u}^{t+\Delta t} \geq \frac{\vec{v}}{\Delta t} \quad \text{compl. to} \quad \vec{f} \geq 0,$$

$$\mathbf{N}^T \mathbf{C}^T \left(\vec{u}^t + \Delta t \mathbf{M}^{-1} (\mathbf{C} \mathbf{N} \vec{f}^{t+\Delta t} + \vec{f}_{ext}) \right) - \frac{\vec{v}}{\Delta t} \geq 0.$$

最终可以表示成 $\mathbf{A} \mathbf{x} + \mathbf{b} \geq 0, \mathbf{x} \geq 0$ 的方程组形式。

$$\underbrace{\mathbf{N}^T \mathbf{C}^T \mathbf{M}^{-1} \mathbf{C} \mathbf{N}}_{\mathbf{A}} \underbrace{\Delta t \vec{f}^{t+\Delta t}}_{\vec{x}} + \underbrace{\mathbf{N}^T \mathbf{C}^T (\vec{u}^t + \Delta t \mathbf{M}^{-1} \vec{f}_{ext})}_{\vec{b}} - \frac{\vec{v}}{\Delta t} \geq 0,$$

3.2.2. 摩擦力约束方程式

约束力不做功，也就是说，约束力的方向与速度的方向垂直。

摩擦力方向 $\mathbf{D}_k = [\vec{d}_{1k}, \vec{d}_{2k}, \dots, \vec{d}_{n_k}]$

摩擦力大小 $\vec{\beta}_k = [\beta_{1k}, \dots, \beta_{n_k}]$

则接触力 $\vec{f}_k = f_k \vec{n}_k + \mathbf{D}_k \vec{\beta}_k$

$$\dot{\vec{u}} = \mathbf{M}^{-1} \left(\mathbf{C} (\mathbf{N} \vec{f} + \mathbf{D} \vec{\beta}) + \vec{f}_{ext} \right).$$

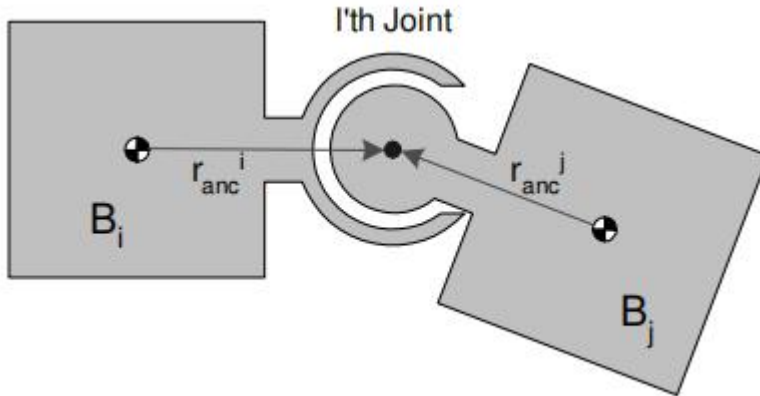
$$\vec{u}^{t+\Delta t} = \vec{u}^t + \Delta t \mathbf{M}^{-1} \left(\mathbf{C} (\mathbf{N} \vec{f} + \mathbf{D} \vec{\beta}) + \vec{f}_{ext} \right).$$

$$\begin{bmatrix} \mathbf{D}^T \mathbf{C}^T \mathbf{M}^{-1} \mathbf{C} \mathbf{D} & \mathbf{D}^T \mathbf{C}^T \mathbf{M}^{-1} \mathbf{C} \mathbf{N} & \mathbf{E} \\ \mathbf{N}^T \mathbf{C}^T \mathbf{M}^{-1} \mathbf{C} \mathbf{D} & \mathbf{N}^T \mathbf{C}^T \mathbf{M}^{-1} \mathbf{C} \mathbf{N} & \mathbf{0} \\ -\mathbf{E}^T & \mu & \mathbf{0} \end{bmatrix} \cdot \begin{bmatrix} \Delta t \vec{\beta} \\ \Delta t \vec{f} \\ \vec{\lambda}_{\text{aux}} \end{bmatrix} \\
+ \begin{bmatrix} \mathbf{D}^T \mathbf{C}^T \left(\vec{u}^t + \Delta t \mathbf{M}^{-1} \vec{f}_{\text{ext}} \right) \\ \mathbf{N}^T \mathbf{C}^T \left(\vec{u}^t + \Delta t \mathbf{M}^{-1} \vec{f}_{\text{ext}} \right) - \frac{\vec{v}}{\Delta t} \\ 0 \end{bmatrix} \geq 0 \\
\text{compl. to } \begin{bmatrix} \Delta t \vec{\beta} \\ \Delta t \vec{f} \\ \vec{\lambda}_{\text{aux}} \end{bmatrix} \geq 0,$$

最终同样可以表示成 $\mathbf{Ax} + \mathbf{b} \geq 0, \mathbf{x} \geq 0$ 的方程组形式。

3.2.3. 非接触约束方程式

以铰链约束为样例



$$\begin{aligned}
\underbrace{\left[(\mathbf{r}_i + \mathbf{R}(q_i) \mathbf{r}_{\text{anc}}^i) - (\mathbf{r}_j + \mathbf{R}(q_j) \mathbf{r}_{\text{anc}}^j) \right]}_{\Phi_1} &= 0, \\
\underbrace{\left[(\mathbf{r}_i + \mathbf{R}(q_i) \mathbf{r}_{\text{anc}}^i) - (\mathbf{r}_j + \mathbf{R}(q_j) \mathbf{r}_{\text{anc}}^j) \right]}_{\Phi_2} &= 0, \\
\underbrace{\left[(\mathbf{r}_i + \mathbf{R}(q_i) \mathbf{r}_{\text{anc}}^i) - (\mathbf{r}_j + \mathbf{R}(q_j) \mathbf{r}_{\text{anc}}^j) \right]}_{\Phi_3} &= 0,
\end{aligned}$$

$$\Phi(s) = \begin{bmatrix} \Phi_1(s) \\ \Phi_2(s) \\ \Phi_3(s) \end{bmatrix} = 0.$$

其中 s 是上面出现过的广义位置 $\vec{s}_i = [\vec{r}_i, \vec{q}_i]$ 。上式同样对时间求导，得

$$\begin{aligned} \frac{d}{dt} \Phi_l(s) &= \frac{\partial \Phi}{\partial s} \frac{ds}{dt} \\ &= \underbrace{\frac{\partial \Phi}{\partial s} S}_{J_\Phi} u \\ &= 0. \end{aligned}$$

$$\begin{aligned} \frac{d^2}{dt^2} \Phi(s(t)) &= \frac{d}{dt} (J_\Phi u) \\ &= \frac{d}{dt} (J_\Phi) u + J_\Phi \frac{d}{dt} (u) \\ &= 0, \end{aligned}$$

可得 $J_\Phi \dot{u} = -\dot{J}_\Phi u$ 。

根据这里的约束力不做功 $\vec{f} \cdot \vec{s}_i = 0$ ，两边对时间求导得 $\vec{f} \cdot \vec{u}_i = 0$ ，则约束力

$$\mathbf{F}_\Phi = \mathbf{J}_\Phi^T \boldsymbol{\lambda}_\Phi.$$

可以表示成 Jacobian 矩阵的广义倍数

可以证明上述的接触约束力也可以表示成 Jacobian 矩阵的广义倍数

$$C(Nf + D\beta) \equiv J_{\text{contact}}^T \boldsymbol{\lambda}_{\text{contact}}.$$

$$\begin{aligned} C(Nf + D\beta) &= CNf + CD\beta \\ &= \underbrace{[CN \quad CD]}_{\pi(J_{\text{contact}}^T)} \underbrace{\begin{bmatrix} f \\ \beta \end{bmatrix}}_{\pi(\boldsymbol{\lambda}_{\text{contact}})} \\ &= \pi(J_{\text{contact}}^T \boldsymbol{\lambda}_{\text{contact}}), \end{aligned}$$

各种约束组合方程式

$$\underbrace{\begin{bmatrix} A_{11} & A_{12} \\ A_{21} & A_{22} \end{bmatrix}}_A \underbrace{\begin{bmatrix} \lambda_{\text{joint}} \\ \lambda_{\text{contact}} \\ \lambda_{\text{limit}} \\ \lambda_{\text{motor}} \\ \lambda_{\text{aux}} \end{bmatrix}}_{\lambda} + \underbrace{\begin{bmatrix} J_{\text{joint}} \left(u + \Delta t M^{-1} f_{\text{ext}} \right) - b_{\text{joint}} \\ J_{\text{contact}} \left(u + \Delta t M^{-1} f_{\text{ext}} \right) - b_{\text{contact}} \\ J_{\text{limit}} \left(u + \Delta t M^{-1} f_{\text{ext}} \right) - b_{\text{limit}} \\ J_{\text{motor}} \left(u + \Delta t M^{-1} f_{\text{ext}} \right) - b_{\text{motor}} \\ b_{\text{aux}} \end{bmatrix}}_b \geq 0,$$

Bullet 中只分了三种：接触约束、摩擦力约束和非接触约束。

参考文献

[Physics-Based Animation] (https://www.researchgate.net/profile/Kenny-Erleben/publication/247181209_Physics-Based_Animation/links/5e1b2ed04585159aa4cb43d8/Physics-Based-Animation.pdf)
[Lemke-Howson Algorithm] (<https://web.stanford.edu/~saberi/lecture4.pdf>)
[Iterative Dynamics with Temporal Coherence] (https://box2d.org/files/ErinCatto_IterativeDynamics_GDC2005.pdf)
[Practical methods of optimization] by Fletcher R.
[二次规划的若干算法研究] (<https://www.docin.com/p-892892104.html>)

附录一：单纯形法样例

单纯形法具体例子：
在一系列约束条件下求目标函数的最值

$$\begin{aligned} \max \quad & 2x_1 + x_2 \\ \text{s.t.} \quad & 5x_2 \leq 15 \\ & 6x_1 + 2x_2 \leq 24 \\ & x_1 + x_2 \leq 5 \\ & x_1 \geq 0, x_2 \geq 0 \end{aligned}$$

先化为标准型，即增加人工变量把不等式转化为等式

$$\begin{array}{ll}
\max & 2x_1 + x_2 \\
\text{s.t.} & 5x_2 + x_3 = 15 \\
& 6x_1 + 2x_2 + x_4 = 24 \\
& x_1 + x_2 + x_5 = 5 \\
& x_i \geq 0, \quad i = 1, 2, \dots, 5
\end{array}
\quad \Leftrightarrow \quad
\begin{array}{ll}
\max & C^T X \\
\text{s.t.} & AX = \vec{b} \\
& X \geq 0
\end{array}$$

$$C = \begin{pmatrix} 2 \\ 1 \\ 0 \\ 0 \\ 0 \end{pmatrix}, \quad A = \begin{pmatrix} 0 & 5 & 1 & 0 & 0 \\ 6 & 2 & 0 & 1 & 0 \\ 1 & 1 & 0 & 0 & 1 \end{pmatrix}, \quad \vec{b} = \begin{pmatrix} 15 \\ 24 \\ 5 \end{pmatrix}$$

得单纯形表

BV	x_1	x_2	x_3	x_4	x_5	RHS
x_2	0	1	0.2	0	0	3
x_4	6	0	-0.4	1	0	18
x_5	1	0	-0.2	0	1	2
	2	1	0	0	0	z

最左边一列是基变量，最右边一列是约束右边的常数项，中间是决策变量的系数。

最下边一行是目标函数。

通过行变换将最后一行的基变量前面系数变成 0，得

BV	x_1	x_2	x_3	x_4	x_5	RHS
x_2	0	1	0.2	0	0	3
x_4	6	0	-0.4	1	0	18
x_5	1	0	-0.2	0	1	2
	2	0	-0.2	0	0	$z-3$

选基和换基

$$\min \left\{ \frac{3}{0}, \frac{18}{6}, \frac{2}{1} \right\} \Rightarrow$$

BV	x_1	x_2	x_3	x_4	x_5	RHS
x_2	0	1	0.2	0	0	3
x_4	6	0	-0.4	1	0	18
x_5	1	0	-0.2	0	1	2
	2	0	-0.2	0	0	$z-3$

BV	x_1	x_2	x_3	x_4	x_5	RHS
x_2	0	1	0.2	0	0	3
x_4	0	0	0.8	1	-6	6
x_1	1	0	-0.2	0	1	2
	0	0	0.2	0	-2	$z-7$

BV	x_1	x_2	x_3	x_4	x_5	RHS
x_2	0	1	0	-0.25	1.5	1.5
x_3	0	0	1	1.25	-7.5	7.5
x_1	1	0	0	0.25	-0.5	3.5
	0	0	0	-0.25	-0.5	$z - 8.5$

附录 2：问题记录

- 1) 求解器的求解原理
- 2) 约束背后的数学原理
- 3) 求解器使用了哪些数学理论基础
- 4) 数学知识、公式推导
- 5) 物理引擎的设计框架
- 6) IK
- 7) 欧拉方法还是 Verlet Integration